

УДК 539.374 (575.2) (04)

ОСОБЫЕ СЛУЧАИ НАЧАЛЬНОЙ АНИЗОТРОПИИ ПЛАСТИЧНЫХ МАТЕРИАЛОВ И ЕЕ ВЛИЯНИЕ НА НЕКОТОРЫЕ МЕХАНИЧЕСКИЕ ХАРАКТЕРИСТИКИ

И.В. Гончарова – канд. физ.-мат. наук.,

Б.А. Рычков – докт. физ.-мат. наук

Experimental data on proportional loading of alpha brass tube specimens in different cases of compound stress were analyzed and described on the basis of sliding conception. A new yield criterion for this anisotropic material was submitted. Shear resistance is determined to be the main strength characteristic.

В данной работе проанализированы опыты Дж. Паркера с трубчатыми образцами из алатуни [1]. Несмотря на то, что в опубликованных экспериментальных данных отсутствуют сведения об упругих составляющих компонент тензора деформаций и значения самих компонент деформаций, а даны только интенсивности пластических деформаций при осуществленных сложных нагружениях трубчатых образцов, удалось теоретически определить характер возникновения пластической деформации. Возникновение и развитие пластической деформации смоделировано (идеализированными) скольжениями по площадкам действия главных касательных напряжений. Особенно интересным является случай так называемого “косого” растяжения, который реализуется путем внутреннего давления и закручивания образца так, что при определенном соотношении между этими силовыми факторами отличным от нуля является только одно главное напряжение, направленное под углом $55,5^\circ$ к оси образца. В этом случае замеряемая в опыте осевая деформация образца ничтожно мала по величине, но положительна по знаку, последнее обстоятельство позволило выявить последовательность включения в работу соответствующих площадок скольжения, которые возникают вначале в радиальном направлении, а затем и вдоль образующей поверхности об-

разца (z , φ и r – направления соответственно вдоль оси, по касательной к цилиндрической образующей и по радиусу трубки). В результате найдено условие текучести данного анизотропного материала [2]: в случаях осевого и в начальный момент “косого” растяжения реализуется условие текучести Треска (вначале возникает деформация Γ_{zr}), а в случае чистого кручения и в некоторый момент “косого” растяжения (когда наряду с Γ_{zr} возникает деформация $\Gamma_{z\varphi}$) данный материал подчиняется критерию Губера-Мизеса. Это согласуется с выводами авторов эксперимента о разных свойствах данного материала в радиальном направлении и по направлению касательной к цилиндрической образующей образца.

Результаты испытаний даны автором в координатах “приведенное напряжение $\bar{\sigma}$ – приведенная деформация $\bar{\varepsilon}^p$ ” [1]. Размерность напряжений сохранена такой, как она представлена в данной работе.

Рассмотрим “косое” растяжение; вначале начинает работать площадка $T_{z'r}$. При $\bar{\sigma} > 658 \text{ кг/см}^2$ подключается площадка $T_{z'\varphi}$ (момент возникновения скольжений по второй площадке). Скольжения на площадках $T_{z'\varphi}$ и $T_{z'r}$ доставляют соответственно следующие главные деформации:

$$\begin{aligned} \Gamma_1 &= (\Gamma_{z'})_{z'r} + (\Gamma_{z'})_{z'\phi'} = \Gamma_{z'} ; \\ \Gamma_2 &= -(\Gamma_{z'})_{z'\phi'} = \Gamma_{\phi'} ; \Gamma_3 = -(\Gamma_{z'})_{z'r} = \Gamma_r . \end{aligned}$$

При рассматриваемом напряженном состоянии главное напряжение $\sigma_1 = 3,214\sigma_z = \sigma_z$, и $\bar{\sigma} = \sigma_{z'}$.

В качестве основной прочностной характеристики материала используется сопротивление сдвигу, которое в данной работе представлено двумя способами.

1 способ. Согласно упрощенной концепции скольжений в каждой из площадок скольжения T_{ij} сопротивление сдвигу (S_{kl}) непосредственно зависит только от интенсивности скольжений (r_{kl}) по данной площадке, которые возникают когда касательное напряжение τ_{kl} достигает величины S_{kl} (направления k, l лежат в плоскости T_{ij} , угол между осью i и k равен $\pi/4$). Как и ранее [3], будем полагать

$$\begin{aligned} S_{kl} &= \psi(\tau^*, \tau_{ij}) + \Psi(\tau^*, \tau_{ij})r_{kl} + A_{ij}(1 - \cos m^l), \\ A_{ij} &= \text{const}, \text{ где } m - \text{направление действия соответствующего главного касательного напряжения, } \tau^* - \text{некоторая инвариантная величина (в качестве которой в данном случае выбрано октаэдрическое касательное напряжение), } \psi \text{ и } \Psi - \text{материальные функции. Здесь принимается, что функция } \psi(\tau_0, \tau_{ij}) \text{ равна пределам текучести } \tau_{ij}^T \text{ для соответствующего напряженного состояния. Величина } A \text{ (на основании предыдущих исследований [4]) принимается равной удвоенному нормальному пределу текучести, вызывающему скольжение по соответствующей площадке. Функции } \Psi(\tau_0, \tau_{ij}) \text{ подлежат определению, они находятся при сопоставлении расчетных и экспериментальных диаграмм упрочнения при пропорциональном нагружении в случаях сложного напряженного состояния.} \end{aligned}$$

Направление скольжения l в плоскости T_{ij} определяется углом β , который отсчитывается от направления m . Из условия равенства сопротивления сдвигу действующему в его направлении касательному напряжению находится интенсивность скольжений $r(\beta) = r_{kl}(\beta)$.

Направление скольжения l в плоскости T_{ij} определяется углом β , который отсчитывается от направления m . Из условия равенства сопротивления сдвигу действующему в его направлении касательному напряжению находится интенсивность скольжений $r(\beta) = r_{kl}(\beta)$.

Суммируя элементарные сдвиги по отдельным площадкам скольжения T_{ij} , найдем составляющие компонент тензора пластической деформации в главных осях. Например, от скольжений по площадке $T_{z\phi}$ будем иметь

$$(\Gamma_z)_{z\phi} = -(\Gamma_{\phi})_{z\phi} = \frac{1}{2} \int_{-\theta_{z\phi}}^{\theta_{z\phi}} r(\beta) \cos 2\beta d\beta .$$

Таким образом получим компоненты деформации чистого сдвига ($\Gamma_z = -\Gamma_{\phi}$) от указанных скольжений.

Границы веера скольжений $\pm\theta_{ij}$ определяются из условия непрерывности скольжений.

В результате для случая косоугольного растяжения получим

$$\begin{aligned} (\Gamma_{z'})_{z'r} &= \frac{1}{2} (\tau_{z'r} + 4\tau_{z'r}^T) (\theta_{z'r} - 0,25 \cdot \sin 4\theta_{z'r}) \Psi_{z'r}^{-1}, \\ (\Gamma_{z'})_{z'\phi'} &= \frac{1}{2} (\tau_{z'\phi'} + 4\tau_{z'\phi'}^T) (\theta_{z'\phi'} - 0,25 \cdot \sin 4\theta_{z'\phi'}) \Psi_{z'\phi'}^{-1}. \end{aligned}$$

Функции упрочнения будем искать в виде

$$\Psi_{ij}(\tau_0, \tau_{ij}) = p_{ij} \cdot \left(\frac{\tau_{ij}}{\tau_{ij}^T} - 1 \right)^{\alpha_{ij}} .$$

Для этого воспользуемся диаграммой “косоугольного” растяжения, средней для образцов I, II, III [1]. В итоге получим

$$\Psi_{z'r} = 28,5 \cdot \left(\frac{\tau_{z'r}}{\tau_{z'r}^T} - 1 \right)^{0,7}, \Psi_{z'\phi'} = 25 \cdot \left(\frac{\tau_{z'\phi'}}{\tau_{z'\phi'}^T} - 1 \right)^{0,4} .$$

2 способ. Сопротивление сдвигу рассматриваем в виде

$$S_{ij} = \tau_{ij}^T [1 + \Psi_{ij} \Gamma_{ij}] = \tau_{ij} .$$

Функцию упрочнения ищем в виде

$$\Psi_{ij} = k_{ij} \left(\frac{\tau_{ij}}{\tau_{ij}^T} - 1 \right)^{\alpha_{ij}} .$$

С учетом введенных соотношений пластические деформации выражаются более просто, чем в предыдущем случае:

$$\Gamma_{ij} = \frac{1}{k_{ij}} \left(\frac{\tau_{ij}}{\tau_{ij}^T} - 1 \right)^{1-\alpha_{ij}} .$$

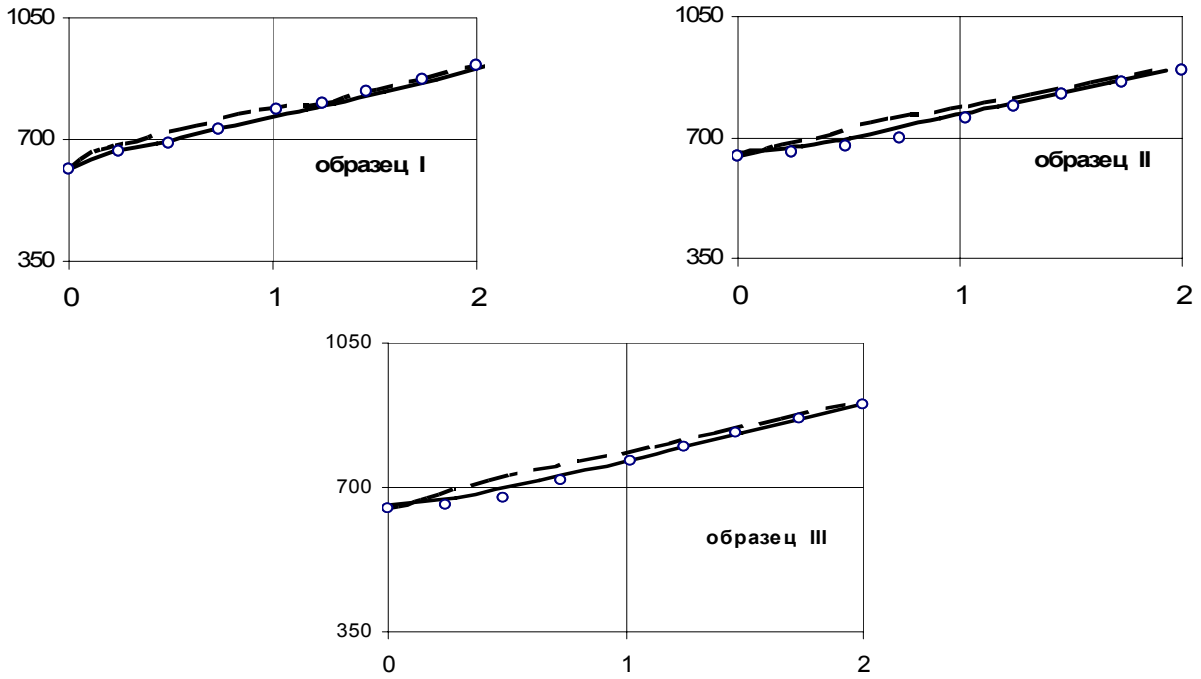


Рис. 1.

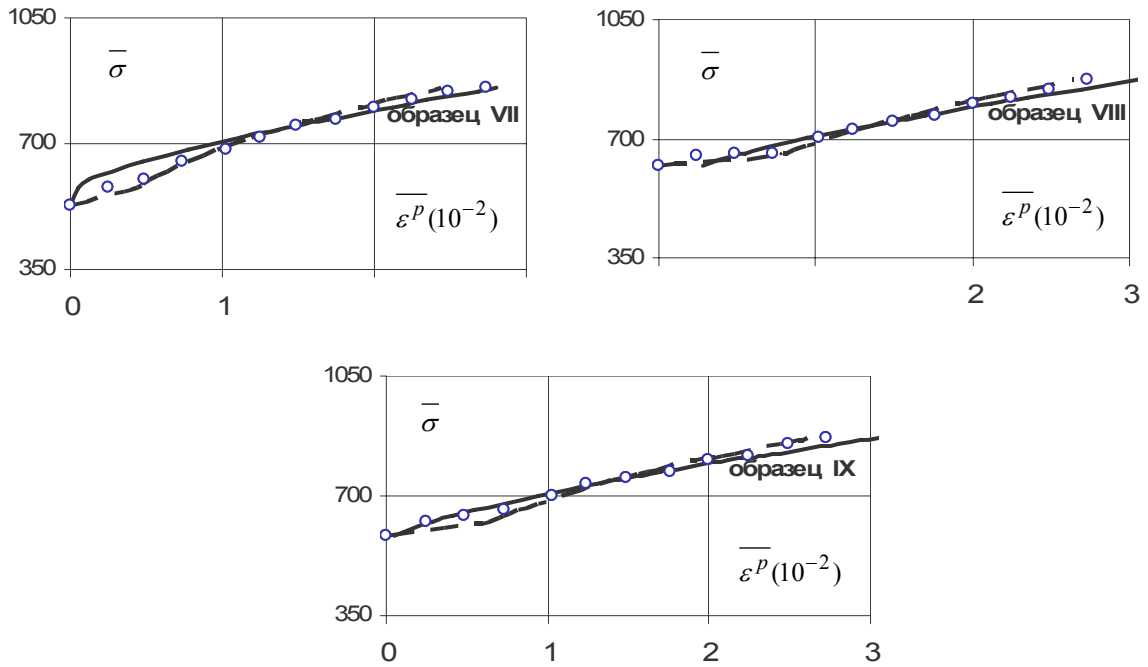


Рис. 2.

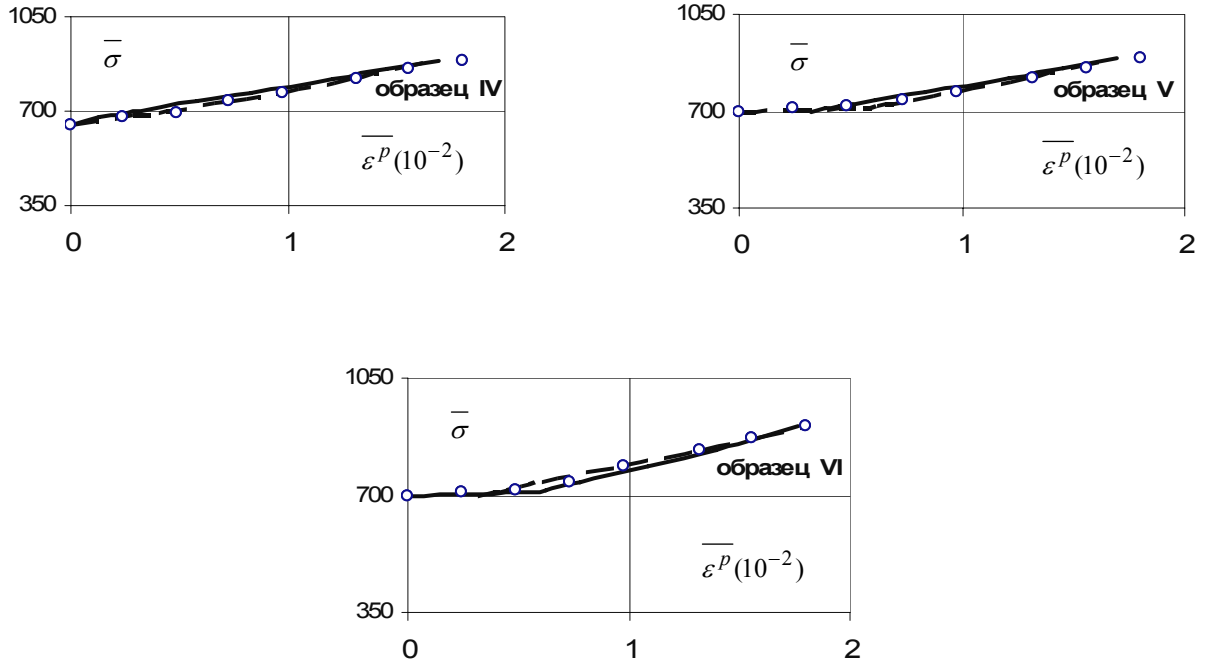


Рис. 3.

Аппроксимируя расчетными зависимостями, соответствующие диаграммы деформирования для “косого” растяжения получим

$$\Psi_{z'r} = 0,4 \cdot \left(\frac{\tau_{z'r}}{\tau_{z'r}^T} - 1 \right)^{0,3}, \quad \Psi_{z'\varphi'} = 0,4 \cdot \left(\frac{\tau_{z'\varphi'}}{\tau_{z'\varphi'}^T} - 1 \right)^{0,09}.$$

При таком выборе функций упрочнения выполняется (наблюдаемое в опыте) условие $\Gamma_z \approx 0$.

На рис. 1 приведены расчетные диаграммы для образцов I, II, III. Здесь и далее на рисунках расчетные кривые показаны сплошными (1 способ) и пунктирными (2 способ) линиями, экспериментальные – точками.

Рассмотрим **внутреннее давление**, при котором $\frac{\sigma_\varphi}{\sigma_z} = 2,124$ (это случай почти чистого сдвига). Работает площадка $T_{\varphi r}$ ($\Gamma_\varphi = -\Gamma_r$).

1 способ. Функция упрочнения $\Psi_{\varphi r}$ найдена из диаграммы внутреннего давления, средней для образцов VII, VIII и IX [1]:

$$\Psi_{\varphi r} = 14,28 \cdot \left(\frac{\tau_{\varphi r}}{\tau_{\varphi r}^T} - 1 \right)^{0,4}.$$

2 способ. $\Psi_{\varphi r} = 2,7 \cdot \left(\frac{\tau_{\varphi r}}{\tau_{\varphi r}^T} - 1 \right)^{1,6}.$

На рис. 2 приведены расчетные и экспериментальные диаграммы для образцов VII, VIII и IX.

Кручение. Скольжения происходят в плоскости $T_{z\varphi}$ ($\Gamma_z = -\Gamma_\varphi$).

1 способ. Функция упрочнения $\Psi_{z\varphi}$ найдена из диаграммы кручения, средней для образцов IV, V и VI [1]: $\Psi_{z\varphi} = 18,18 \cdot \left(\frac{\tau_{z\varphi}}{\tau_{z\varphi}^T} - 1 \right)^{0,5}.$

2 способ. $\Psi_{z\varphi} = 0,32 \cdot \left(\frac{\tau_{z\varphi}}{\tau_{z\varphi}^T} - 1 \right)^{0,271}.$

На рис. 3 приведены расчетные и экспериментальные диаграммы для образцов IV, V и VI.

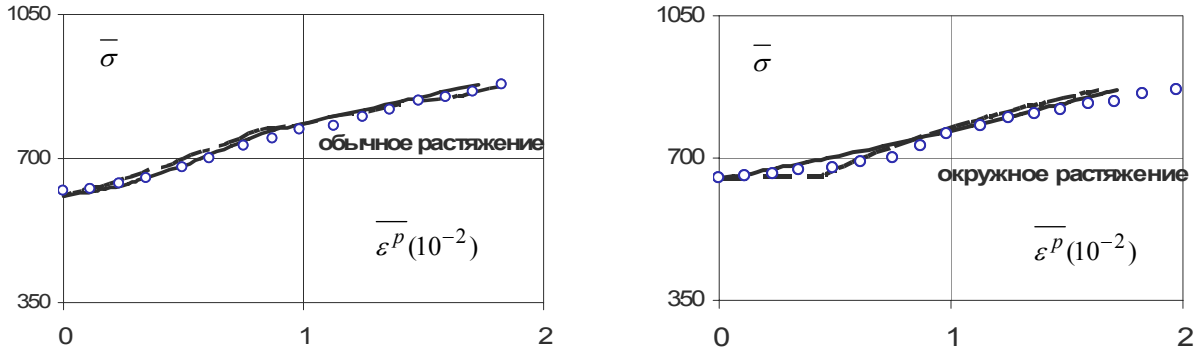


Рис. 4.

При **окружном растяжении** могут работать площадки $T_{\varphi r}$ и $T_{\varphi z}$. Если скольжения происходят по площадке $T_{\varphi z}$, то $\Gamma_{\varphi} = -\Gamma_z$, а в эксперименте $\Gamma_z \approx 0$, следовательно, работает площадка $T_{\varphi r}$. Функция $\Psi_{\varphi r}$ такая же, как в случае внутреннего давления.

На рис. 4 приведены расчетные и экспериментальные диаграммы для окружного растяжения.

При **обычном растяжении** сначала работает площадка T_{zr} , при $\tau_{z\varphi} > 380 \text{ кг/см}^2$ начинает работать площадка $T_{z\varphi}$. Функция упрочнения имеет следующий вид:

$$1 \text{ способ. } \Psi_{zr} = 33,33 \cdot \left(\frac{\tau_{zr}}{\tau_{zr}^T} - 1 \right)^{0,8}.$$

$$2 \text{ способ. } \Psi_{zr} = 0,45 \cdot \left(\frac{\tau_{zr}}{\tau_{zr}^T} - 1 \right)^{0,15}.$$

На рис. 4 приведены расчетные и экспериментальные диаграммы для обычного растяжения.

Во всех рассмотренных случаях соответствие теории опыту достаточно хорошее. Кроме того, в отличие от попыток самих авторов эксперимента, четко выявлен механизм возникновения и развития пластической деформации и условия, при которых она реализуется.

Литература

1. Джилл С., Паркер Дж. Пластические зависимости между напряжениями и деформациями: некоторые опыты по влиянию пути и истории нагружения // Механика, сб. пер. – №3. – 1960. – С. 113–133).
2. Goncharova I.V., Rychkov B.A., Kondratieva E.I. About the yield criterion of anisotropic materials // International Symposium on Developments in Plasticity and Fracture Centenary of M.T. Huber Criterion, august 12–14, 2004, Cracov, Poland. – Cracov, 2004. – P. 32.
3. Рычков Б.А. Концепция скольжения и механика ортотропного материала // Изв. АН России. МТТ. – 1996. – №1. – С. 70–79.
4. Леонов М.Я., Рычков Б.А. К основам механики пластических материалов // Проблемы прочности. – 1982. – №3. – С. 35–39.